

## Erklärung der Tafeln.

### Taf. I.

Fig. 1. *Ictitherium hipparionum* Gaud., vordere Schädelhälfte. Grossulowo. S. 365.

Fig. 2. *Ictitherium hipparionum*; ein Schädelfragment mit den rechten oberen  $Pm^2$ — $M^2$ . Grossulowo. S. 367.

Fig. 3. *Ictitherium hipparionum*; ein Oberkieferfragment mit den linken  $Pm^2$ — $Pm^4$ . Grossulowo. S. 367.

Fig. 4. *Ictitherium hipparionum*; linker oberer  $Pm^4$  von aussen. Grossulowo. S. 365 und 366.

Fig. 5. *Ictitherium hipparionum*; Unterkieferfragment mit den linken  $Pm_4$ — $M_1$  von oben. Fig. 5a—dasselbe von der inneren Seite. Grossulowo. S. 367.

Fig. 6. *Ictitherium hipparionum*; Unterkieferfragment mit den rechten  $Pm_4$ — $M_1$  von oben. Fig. 6a—dasselbe von der inneren Seite. Grossulowo. S. 367.

Fig. 7. *Ictitherium hipparionum*; Unterkieferfragment mit den linken  $Pm_3$ — $M_1$  von der inneren Seite. Grossulowo. S. 367.

Fig. 8. *Ictitherium hipparionum*; Unterkieferfragment mit den linken  $Pm_4$ — $M_1$  von der äusseren Seite. Grossulowo. S. 367.

Fig. 9. *Ictitherium hipparionum*; linker oberer Eckzahn von innen; Grossulowo. S. 365.

Fig. 10. *Ictitherium hipparionum*; rechter oberer  $Pm^3$  von aussen. Grossulowo. S. 365.

Fig. 11. *Ictitherium hipparionum*; linker oberer  $Inc.^8$  von innen. Grossulowo. S. 365.

Fig. 12. *Ictitherium robustum* Nordm.; rechter oberer Eckzahn von innen. Grossulowo. S. 364.

Fig. 13. *Ictitherium* sp. Coprolithes. Kischinew. S. 367.

Fig. 14. *Hyaena eximia* Roth et Wagn.; rechter oberer  $Pm^3$  von aussen. Grossulowo. S. 368.

Fig. 15. *Gazella brevicornis* Roth et Wagn.; linke obere  $Pm^3$ ,  $Pm^4$ ,  $M^1$  und ein Fragment des  $M^2$ ; Kaufläche. Grossulowo. S. 378.

Fig. 16. *Gazella brevicornis*; Unterkieferfragment mit den rechten  $M^1$ ,  $M^2$  und  $M^3$  von der inneren Seite. Grossulowo. S. 377.

Fig. 17. *Rhinoceros pachygnatus* Wagn.; linker oberer  $D^2$  von unten. Grossulowo. S. 373.

Alle Figuren in natürlich. Grösse.

### Taf. II.

Fig. 1. *Sus eurymanthius* Roth et Wagn. Ein Schädelfragment mit den linken oberen  $Pm^3$ — $M^3$ . Grossulowo. S. 376.

Fig. 2. *Sus eurymanthius* Roth et Wagn.; rechter oberer  $M^1$  von unten. Grossulowo. S. 377.

Fig. 3. *Sus eurymanthius*; linker oberer  $M^3$  (Fragment) von unten. Grossulowo. S. 375.

Fig. 4. *Sus eurymanthius*; linker oberer  $M^3$  von unten. Grossulowo. S. 377.

Fig. 5. *Sus eurymanthius*. Unterer  $M_1$  von oben. Grossulowo. S. 377.

Fig. 6. *Hipparion gracile* Kaup; Gaumenfragment mit den rechten  $Pm^2$ — $M^3$ ; Kaufläche. Grossulowo. S. 371.

Fig. 7. *Hipparion gracile* Kaup; Gaumenfragment mit den linken  $Pm^2$ — $M^3$ ; Kaufläche. Grossulowo. S. 371.

Fig. 8. *Hipparion gracile*; rechter unterer  $M_2$ ; Seitenansicht. Grossulowo. S. 372.

Fig. 9. *Hipparion gracile*; rechter unterer  $M_3$  von oben. Grossulowo. S. 380.

Fig. 10. *Hipparion gracile*; linker oberer  $M^1$  von unten. Grossulowo. S. 371.

Fig. 11. *Hipparion gracile*; rechte obere  $Pm^3$ ,  $Pm^4$ ,  $M^1$ ; Kaufläche. Grossulowo. S. 371.

Fig. 12. *Hipparion gracile*; rechte obere  $Pm^3$ ,  $Pm^4$ ; Kaufläche. Taurische Gouvernement. S. 372.

Fig. 13. *Hipparion gracile*; Distalpartie des rechten  $M_t$  III von vorne. Kischinew. S. 372.

Fig. 14. *Hipparion gracile*; die erste Phalange des inneren Griffelbeines. Kischinew. S. 372.

Alle Figuren in natürlich. Grösse.

## Taf. III.

Fig. 1. *Hipparion gracile* Kaup; linker Unterkieferast mit  $Pm_2$ — $M_3$  von oben. Grossulowo. S. 370.

Fig. 2. *Hipparion gracile*; Unterkieferfragment mit den linken  $Pm_2$ — $M_1$  von oben Grossulowo. S. 370.

Fig. 3. *Hipparion gracile*; Unterkieferfragment mit den rechten  $Pm_2$ — $Pm_3$  von oben. Grossulowo. S. 370.

Fig. 4. *Hipparion gracile*; Unterkieferfragment mit den rechten  $Pm_2$ — $M_1$  von oben. Grossulowo. S. 370.

Fig. 5. *Hipparion gracile*; linker Unterkieferast mit  $Pm_2$ — $M_3$  von oben. Kolonie Franzfeld. S. 378.

Fig. 6. *Hipparion gracile*; rechter Unterkieferast mit  $Pm_2$ — $M_2$  von oben. Kolonie Franzfeld. S. 378.

Fig. 7. *Hipparion crassum* Gerv.; Distalpartie des rechten Metacarp. III von vorne. Babel. S. 392.

Fig. 8. *Hipparion crassum*; der linke Metatarsus III von hinten. Babel S. 392.

Fig. 9. *Dinotherium giganteum* Kaup; linker unterer  $M_1$  von oben. Tschernowo. S. 390.

Fig. 10. *Mastodon Borsoni* Hays; linker oberer  $M^1$  von unten. Kriwaja Balka (Odessa). S. 385.

Fig. 11. *Mastodon Borsoni*; linker oberer  $M^3$  von unten. Ananjew. S. 386.

Fig. 12. *Mastodon Borsoni*; rechter oberer  $M^2$  von unten. Farladani. S. 385.

Fig. 13. *Mastodon Borsoni*; linker oberer  $M^3$  von unten. Kolonie Kulm, Bessarabien (Bruchstück). S. 387.

Fig. 14. *Mastodon longirostris* Kaup; rechter oberer  $D^3$  von unten. Bogitscheni, Bessarabien. S. 389.

Fig. 15 *Rhinoceros pachygnatus* Wagn.; linker oberer  $D^4$  von unten. Grossulowo. S. 373.

Fig. 7—15 in  $\frac{2}{3}$ , die übrigen (Fig. 1—6) in natürlich. Grösse.

## Taf. IV.

Fig. 1. *Mastodon arvernensis* Croiz. et Job.; linker oberer  $M^2$  (innere Hälfte) von unten Morosowka;  $\frac{2}{3}$  der natürlich. Grösse. S. 400.

Fig. 2. *Mast. arvernensis*; linker oberer  $M^2$  von unten. Reni;  $\frac{2}{3}$  der natürl. Grösse. S. 399.

Fig. 3 und 4. *Mast. arvernensis*; zwei Fragmente des rechten unteren  $M_3$  von oben; Morosowka;  $\frac{2}{3}$  der natürl. Grösse. S. 401.

Fig. 5. *Mastodon Borsoni* Hays; linker oberer  $M^3$  von unten (Bruchstück). Reni;  $\frac{2}{3}$  der natürl. Grösse. S. 401.

Fig. 6. *Mastodon Pentelici* Gaud. et Lart. Ein Oberkieferfragment mit den rechten  $D^2$  und  $D^3$ ; Kaufläche. Kalfa (Bessarabien);  $\frac{2}{3}$  der natürl. Grösse. S. 374.

Fig. 7. *Rhinoceros cf. pachygnatus* Wagn.; das rechte Femur. Odessa;  $\frac{1}{6}$  der natürl. Grösse. S. 390.

Fig. 8. *Elephas trogontherii* Pohlig; linker unterer  $M_2$  oder  $M_3$  von oben. Tiraspol;  $\frac{1}{2}$  der natürl. Grösse. S. 406.

Fig. 9. *Elephas trogontherii*; rechter oberer  $M^2$ ; Seitenansicht. Tiraspol;  $\frac{1}{2}$  der natürl. Grösse. S. 407.

## Taf. V.

Fig. 1. *Hipparion cf. crassum* Gerv.; rechter unterer  $M_3$  von oben. «Schewachowa» Berg in Odessa; in natürl. Grösse. S. 394.

Fig. 2. *Hipparion cf. crassum*; rechter unterer  $Pm_2$  von oben. «Schewachowa» Berg in Odessa; in natürl. Grösse. S. 394.

Fig. 3. *Equus Stenonis* Cocchi; rechter oberer  $M^1$  von unten. «Schewachowa» Berg in Odessa; in natürl. Grösse. S. 396.

Fig. 4. *Rhinoceros etruscus* Falk.; rechter unterer  $Pm_2$ ; Seitenansicht. Reni; in natürl. Grösse. S. 393.

Fig. 5. *Rhinoceros etruscus*; Ein Unterkieferfragment mit den linken  $M_2$  und  $M_3$  von oben. Reni; in natürl. Grösse. S. 396.

Fig. 6. *Elephas trogontherii*; linker oberer  $M^3$  von unten. Tiraspol;  $\frac{2}{3}$  der natürl. Grösse. Fig. 7—derselbe, Seitenansicht.  $\frac{1}{4}$  der natürl. Grösse. S. 406.

Fig. 8. *Elephas trogontherii*; rechter unterer  $M_3$  von oben. Tiraspol;  $\frac{1}{2}$  der natürl. Grösse. S. 406.

Fig. 9. *Mastodon arvernensis*; linker oberer  $M^3$  von unten. Samarina Balka;  $\frac{2}{3}$  der natürl. Grösse. S. 399.

Fig. 10. *Mast. arvernensis*; rechter oberer  $M^3$  von unten. Samarina Balka;  $\frac{2}{3}$  der natürl. Grösse. S. 399.

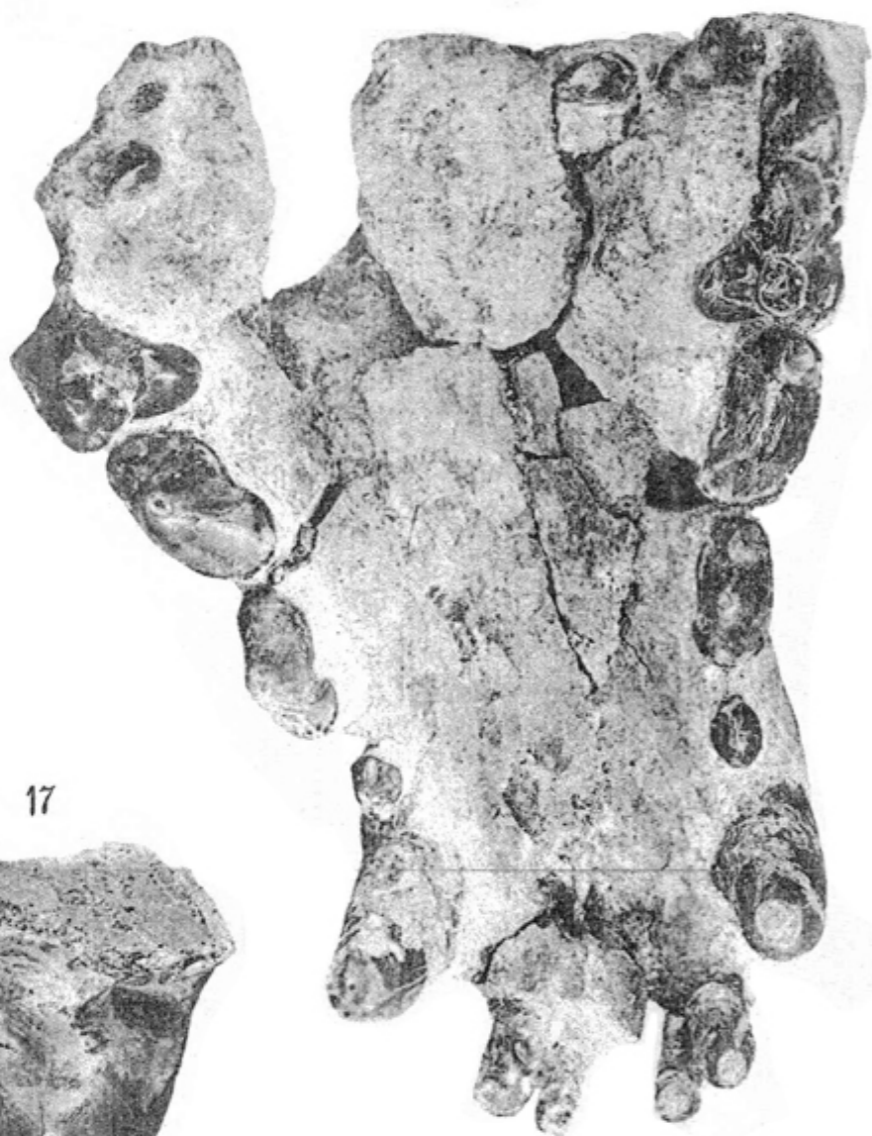
Taf. VI.

Fig. 1. *Mastodon Borsoni Hays*. Ein incompletter Unterkiefer mit den linken  $M_2$  und  $M_3$  von oben. Borschtschi; in natürl. Grösse (Skizze). S. 388.

Fig. 2. *Mast. Borsoni*; rechte untere  $M_2$  und  $M_3$  von oben. Farladini; in natürl. Grösse (Skizze). S. 385.



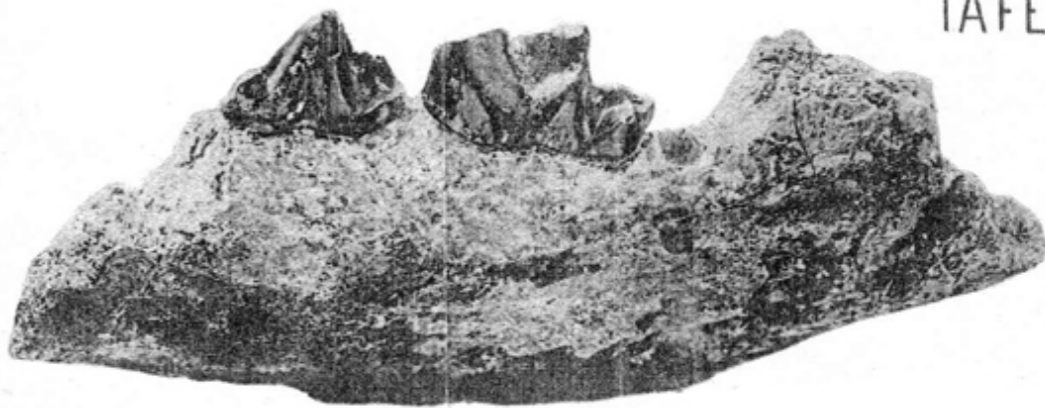
1



5 a



6 a



5



6



17



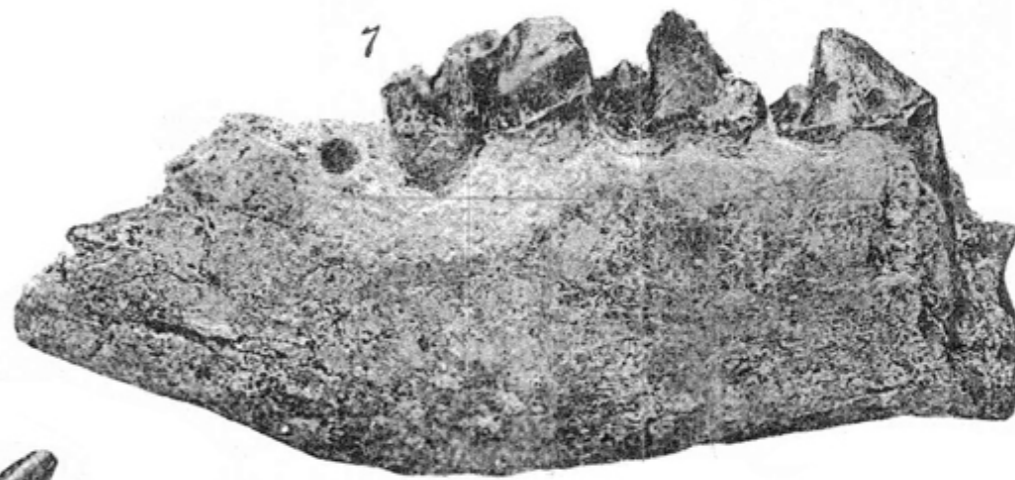
11



10



7



13



12



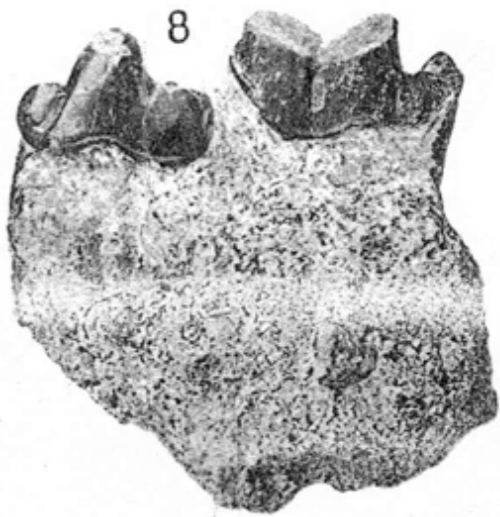
9



14



8



16



15



2



4



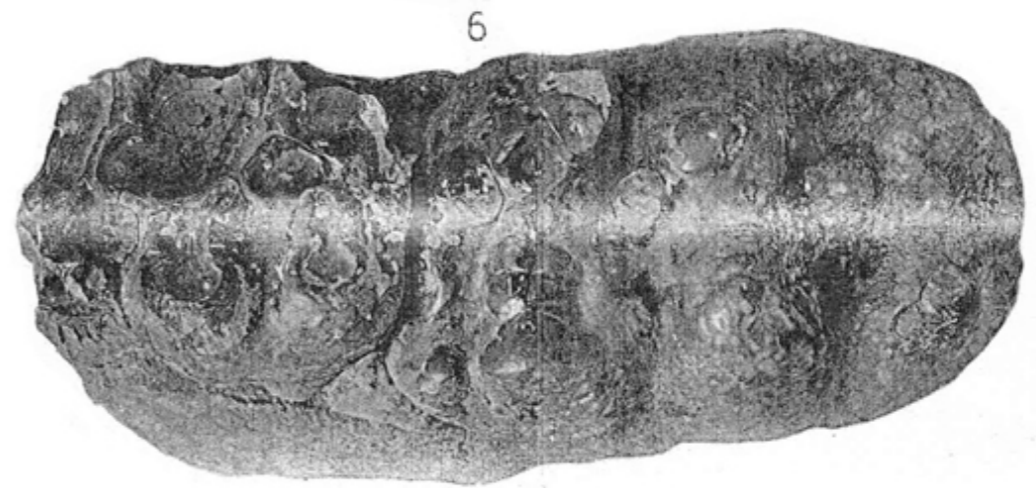
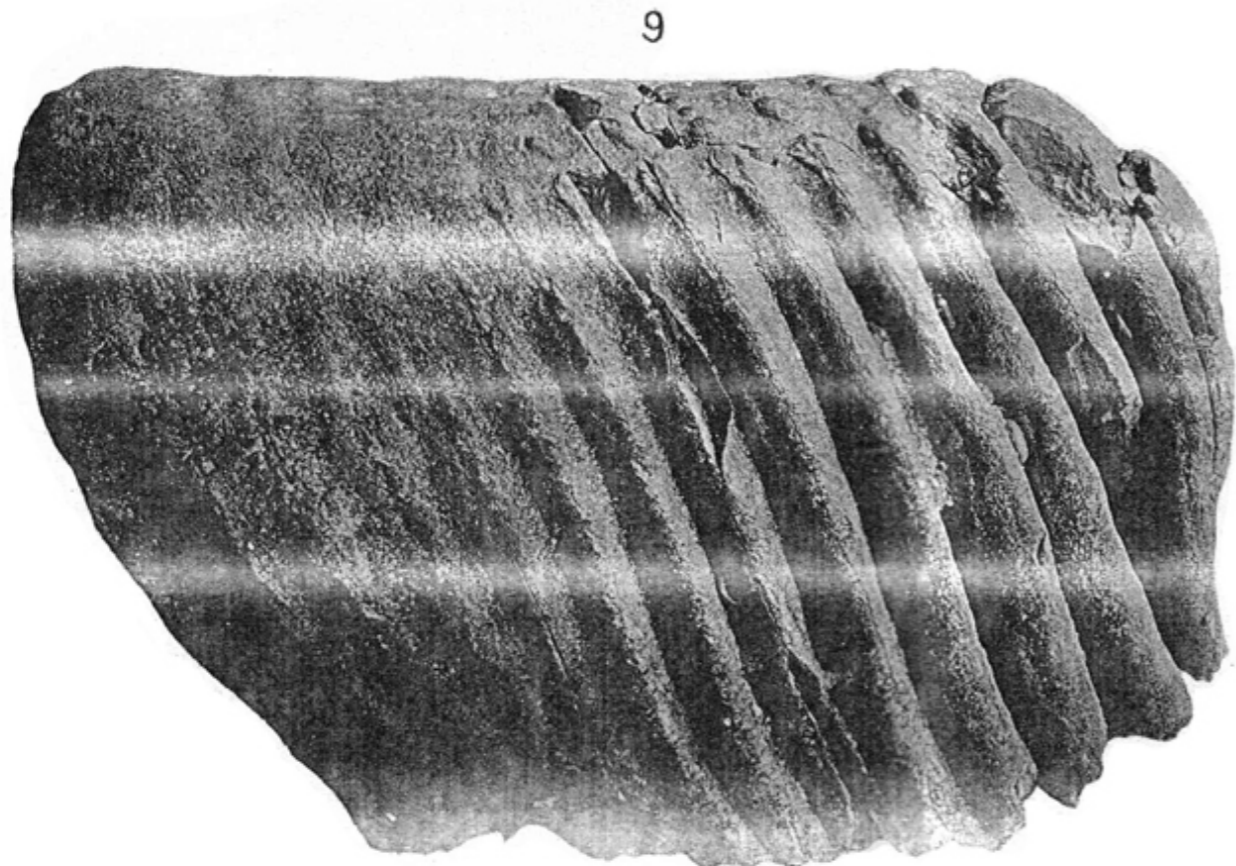
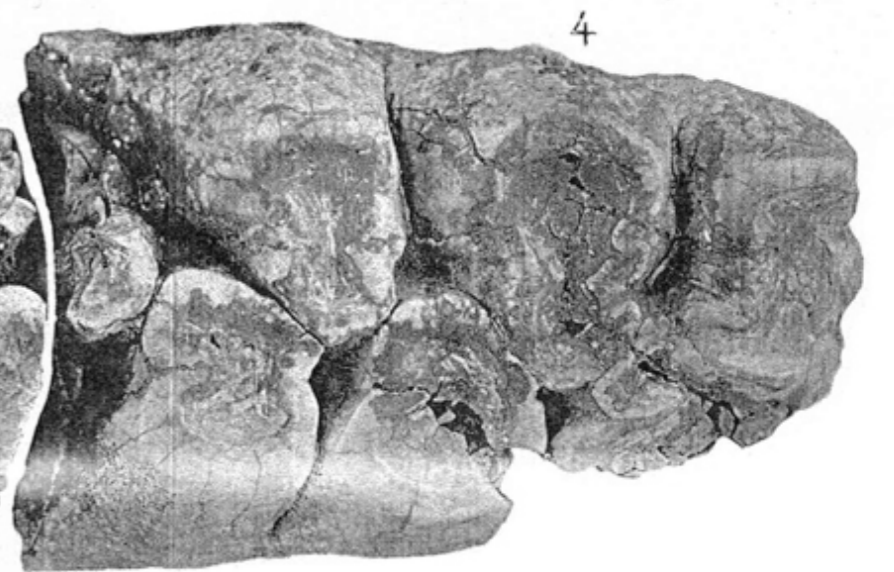
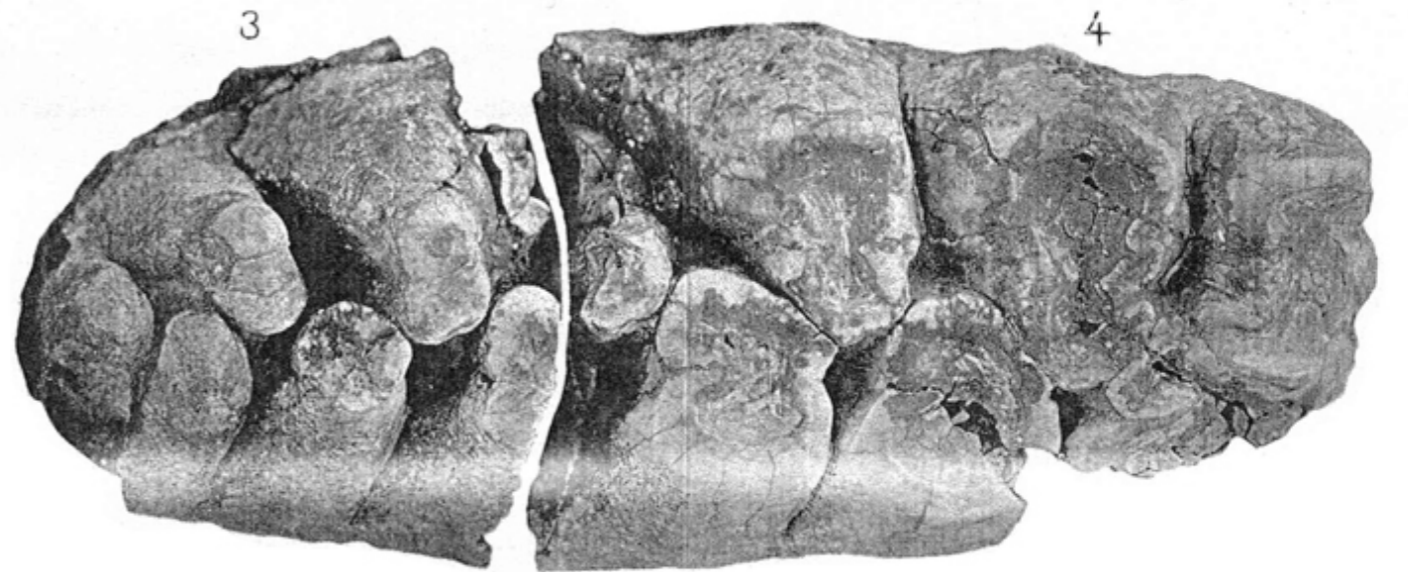
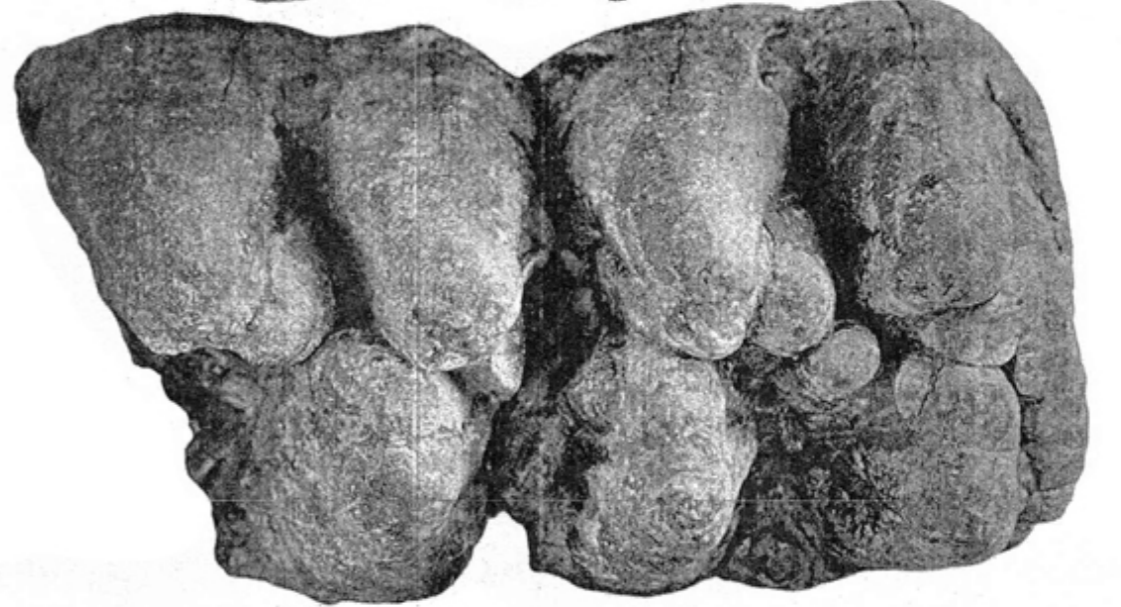
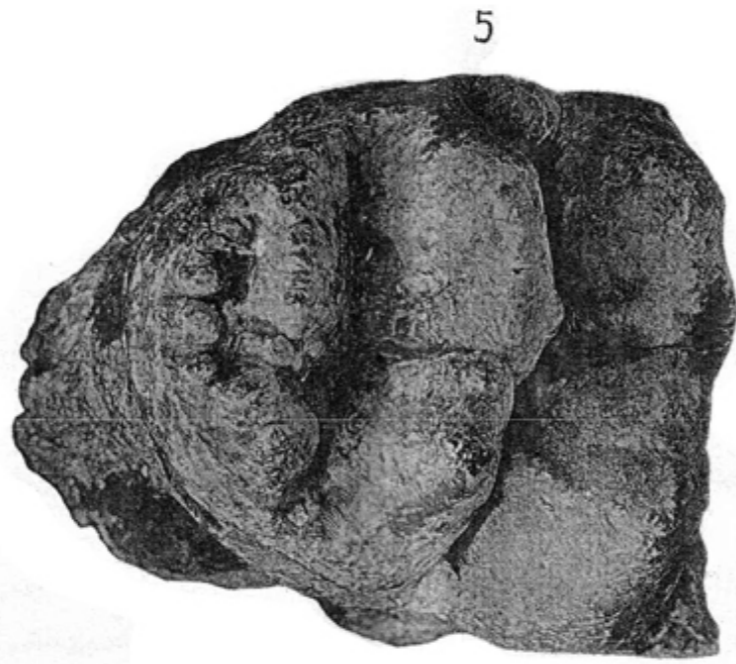
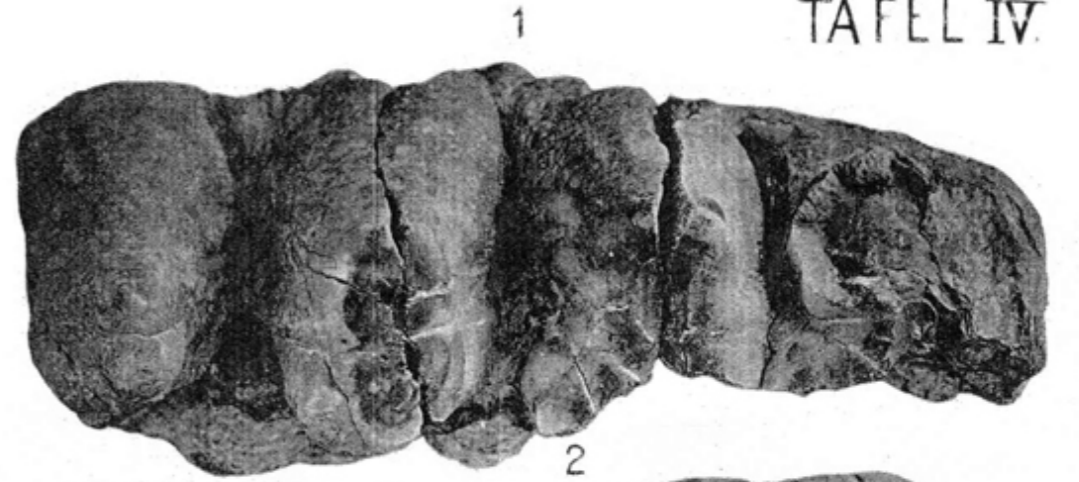
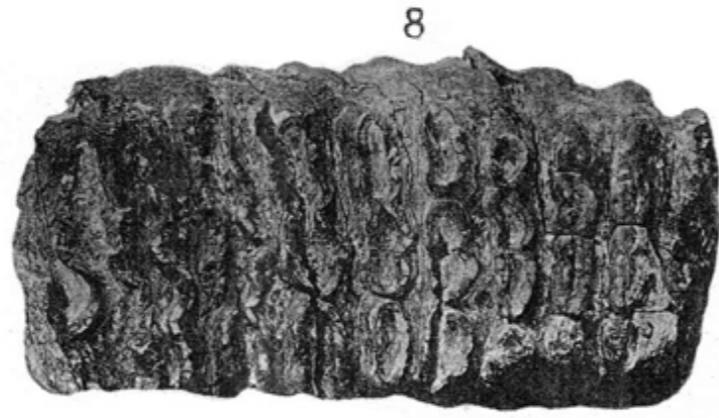
3





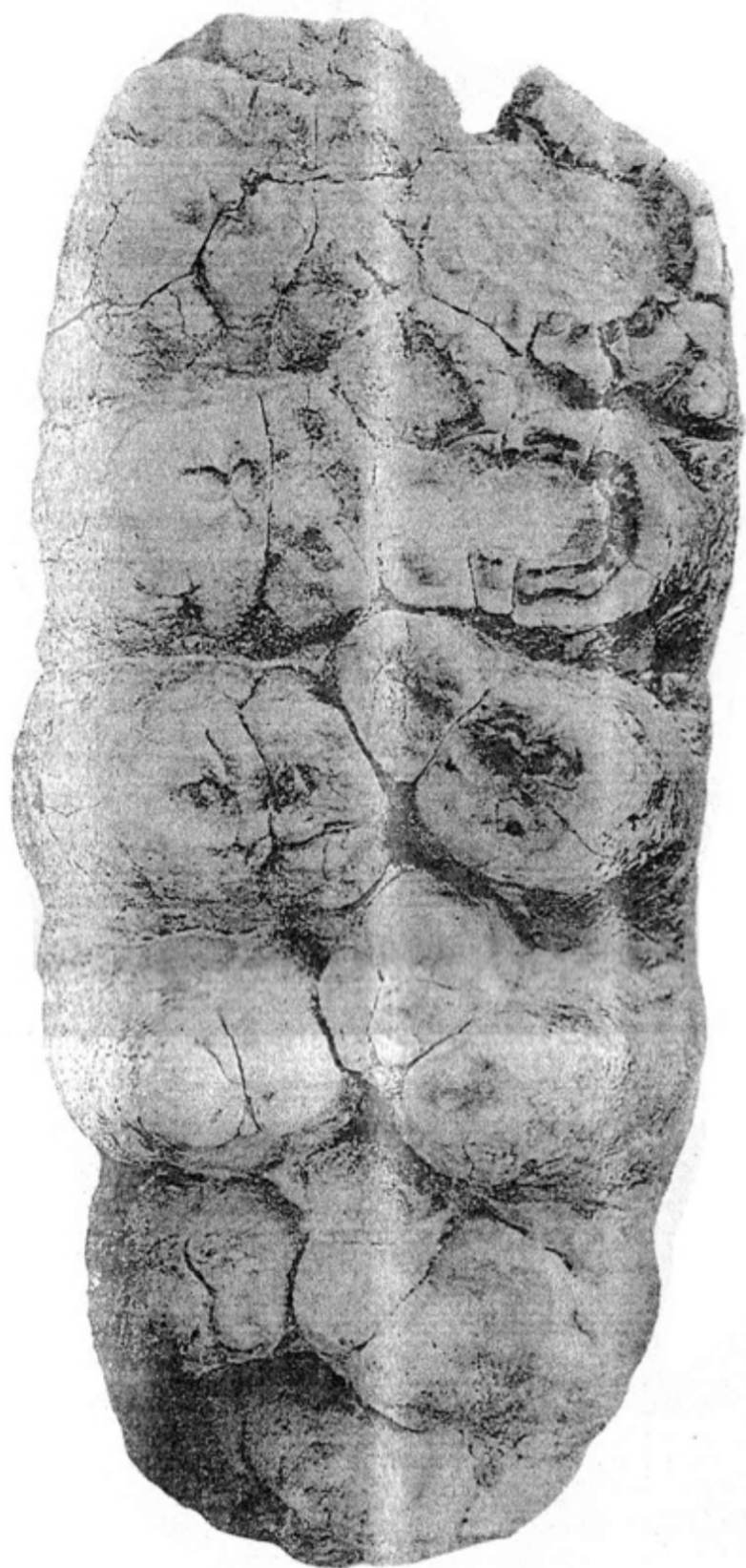








10



1



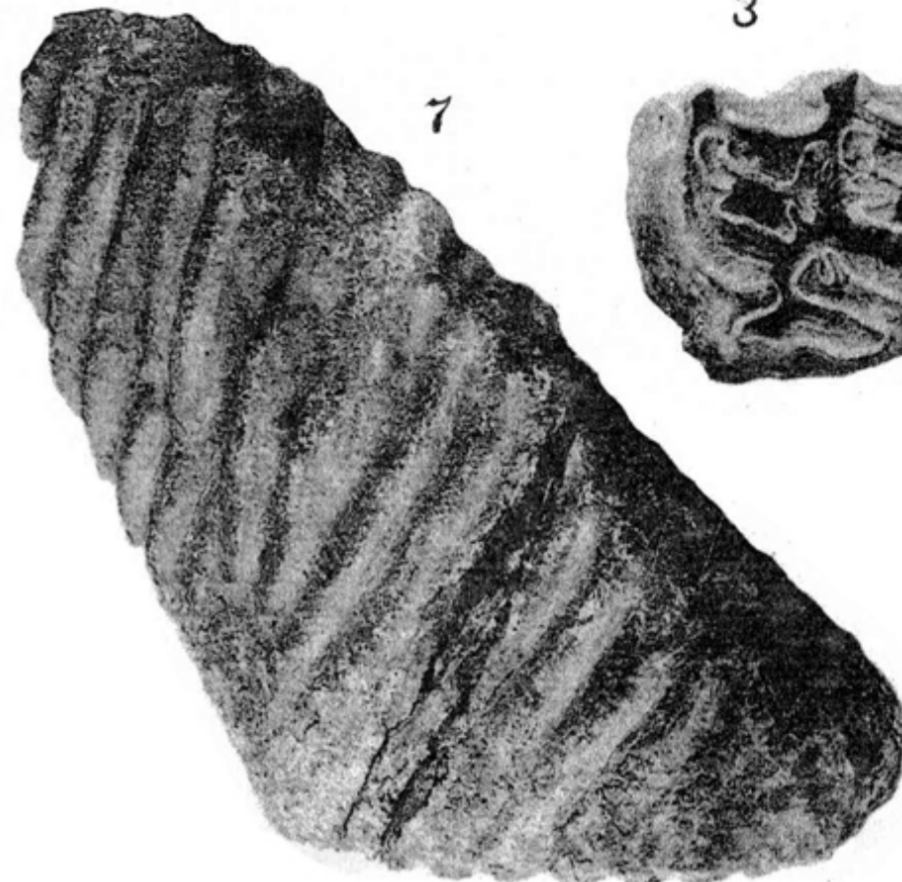
2



3



7



8



6



9



4



5

